

Київський національний університет імені Тараса Шевченка

Факультет комп'ютерних наук та кібернетики

Кафедра інтелектуальних програмних систем

Моделювання складних систем

Звіт

з лабораторної роботи №2

студентки 3-го курсу

групи ІПС-31

Совгирі Анни Олегівни

Варіант №5

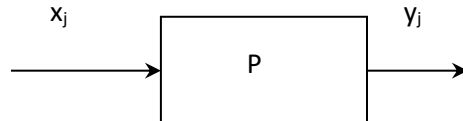
Київ

2025

# Побудова лінійної моделі з допомогою псевдообернених операторів

## Постановка задачі

Будемо вважати, що на вхід системи перетворення, математична модель якої невідома, поступають послідовно дані у вигляді  $m - 1$  вимірних векторів  $\mathbf{x}_j$ . На виході системи спостерігається сигнал у вигляді вектора  $\mathbf{y}_j$  розмірності  $p$ .



Постановка задачі: Для послідовності вхідних сигналів  $\mathbf{x}_j$ ,  $j = 1, 2, \dots, n$  та вихідних сигналів  $\mathbf{y}_j$ ,  $j = 1, 2, \dots, n$  знайти оператор  $P$  перетворення вхідного сигналу у вихідний.

Будемо шукати математичну модель оператора об'єкту в класі лінійних операторів

$$\mathbf{A} \begin{pmatrix} \mathbf{x}_j \\ 1 \end{pmatrix} = \mathbf{y}_j, \quad j = 1, 2, \dots, n. \quad (1)$$

Невідома матриця  $\mathbf{A}$  математичної моделі об'єкту розмірності  $p \times n$ . Систему (1) запишемо у матричній формі

$$\mathbf{A} \begin{pmatrix} \mathbf{x}_1 & \mathbf{x}_2 & \dots & \mathbf{x}_n \\ 1 & 1 & \dots & 1 \end{pmatrix} = (\mathbf{y}_1, \mathbf{y}_2, \dots, \mathbf{y}_n),$$

або

$$\mathbf{AX} = \mathbf{Y}, \quad (2)$$

де  $\mathbf{X} = \begin{pmatrix} \mathbf{x}_1 & \mathbf{x}_2 & \dots & \mathbf{x}_n \\ 1 & 1 & \dots & 1 \end{pmatrix}$  – матриця вхідних сигналів розмірності  $m \times n$ ,

$\mathbf{Y} = (\mathbf{y}_1, \mathbf{y}_2, \dots, \mathbf{y}_n)$  – матриця вихідних сигналів розмірності  $p \times n$ .

Матрицю  $\mathbf{X}$  будемо інтерпретувати як двовимірне вхідне зображення, а матрицю  $\mathbf{Y}$  вихідне зображення.

Тоді

$$\mathbf{A} = \mathbf{Y}\mathbf{X}^+ + \mathbf{VZ}^T(\mathbf{X}^T),$$

де матриця

$$\mathbf{V} = \begin{pmatrix} \mathbf{v}_{(1)}^T \\ \mathbf{v}_{(2)}^T \\ \vdots \\ \mathbf{v}_{(p)}^T \end{pmatrix},$$

розмірності  $p \times m$ ,  $\mathbf{Z}(\mathbf{X}^T) = \mathbf{I}_m - \mathbf{XX}^+$ .

Формула Гревіля для псевдообернення матриці:

Якщо для матриці  $A$  відома псевдообернена (обернена) матриця  $A^+$ , то для розширеної матриці  $\begin{pmatrix} A \\ a^T \end{pmatrix}$  справедлива формула

$$\begin{pmatrix} A \\ a^T \end{pmatrix}^+ = \begin{cases} \left( A^+ - \frac{Z(A)a a^T A^+}{a^T Z(A)a} : \frac{Z(A)a}{a^T Z(A)a} \right), & \text{if } a^T Z(A)a > 0 \\ \left( A^+ - \frac{R(A)a a^T A^+}{1 + a^T R(A)a} : \frac{R(A)a}{1 + a^T R(A)a} \right), & \text{if } a^T Z(A)a = 0 \end{cases},$$

де  $Z(A) = E - A^+ A$ ,  $R(A) = A^+ (A^+)^T$ .

Для першого кроку алгоритму  $(a_1^T)^+ = \frac{a_1}{a_1^T a_1}$ , де  $A = \begin{pmatrix} a_1^T \\ a_2^T \\ \vdots \\ a_n^T \end{pmatrix}$ .

Формула Мура - Пенроуза для знаходження оберненої (псевдооберненої) матриці:

$$A^+ = \lim_{\delta^2 \rightarrow 0} \left\{ (A^T A + \delta^2 E_n)^{-1} A^T \right\} = \lim_{\delta^2 \rightarrow 0} \left\{ A^T (A A^T + \delta^2 E_m)^{-1} \right\}.$$

матриця  $A$  розмірності  $m \times n$ .

## Теоретичні відомості

**Псевдообернена матриця  $A^+$**  - це узагальнення поняття оберненої матриці для випадків, коли

$A$ :

- не квадратна,
- або вироджена ( $\det = 0$ ),
- або має ранг, менший за мінімальний розмір.

Вона визначається 4 умовами Мура-Пенроуза:

1.  $AA^+A = A$
2.  $A^+AA^+ = A^+$
3.  $AA^+$  — симетрична
4.  $A^+A$  — симетрична

У лабораторній роботі використовуються два підходи:

*Ітераційна формула Мура-Пенроуза*

$$A^+ = \lim_{\delta^2 \rightarrow 0} (A^T A + \delta^2 E)^{-1} A^T$$

### *Метод Гревіля*

Побудова псевдооберненої матриці поелементно, додаючи рядки один за одним.

### *Модель оператора A через X<sup>+</sup>*

Після знаходження псевдооберненої матриці оператор відновлюється формулою:

$$A = YX^+.$$

Це головна формула, яка використовується у лабораторній роботі для побудови моделі. У загальному випадку допускається довільна матриця V:

$$A = YX^+ + VZ(X^T),$$

де  $Z(X^T) = I - XX^+$ .

У реалізації ми використовуємо найпростіший варіант:  $V = 0$ .

### *Метрики точності відновлення: MSE та RMSE*

#### **MSE (Mean Squared Error)**

$$\text{MSE} = \frac{1}{n} \sum_{i=1}^n (y_i - \bar{y}_i)^2$$

**RMSE (Root Mean Square Error)** — це метрика для оцінки помилок у прогнозах, яка вимірює середню різницю між прогнозованими та фактичними значеннями.

$$\text{RMSE} = \sqrt{\text{MSE}}$$

### **Хід роботи**

#### **1. Завантаження вхідного та вихідного зображень.**

Отримано матриці X та Y, що представляють відповідно вхідний та вихідний

сигнали системи. Проведено їхнє попереднє опрацювання (перетворення у числові матриці, нормалізація).

## 2. Формування розширеної матриці $\tilde{X}$

До матриці  $X$  додано рядок одиниць для урахування вільного члена у моделі лінійного оператора.

## 3. Обчислення псевдооберненої матриці двома методами.

- методом Мура–Пенроуза (ітераційний підхід на основі граничного переходу);
- методом Гревіля ( побудова псевдооберненої матриці шляхом поступового додавання рядків).

Для кожного методу перевірено виконання умов Мура–Пенроуза.

## 4. Побудова лінійного оператора $A$ .

Оператор моделі визначено за формулою:

$$A = YX^+,$$

де  $X^+$  - псевдообернена матриця, отримана відповідним методом.

## 5. Обчислення відновленого вихідного сигналу.

Для кожного методу отримано апроксимацію вихідного сигналу:

$$\hat{Y} = A\tilde{X}$$

## 6. Оцінювання точності та порівняння методів.

Для результатів обох методів обчислено:

- L1-норму похибки,
- MSE (середньоквадратичну помилку),
- RMSE (корінь середньоквадратичної помилки),
- час виконання.

На основі цих метрик проведено порівняльний аналіз точності та ефективності методів.

## Програмна реалізація

Програму реалізовано мовою *Python* та розділено на три логічні модулі:

- `main.py` – основний керуючий файл;
- `image_io.py` – модуль роботи із зображеннями;
- `pseudoinverse.py` – модуль обчислення псевдообернених матриць двома методами (Мура–Пенроуза та Гревіля).

Для реалізації використано бібліотеки **NumPy** (лінійна алгебра), **Pillow** (читування/запис зображень), **Matplotlib** ( побудова графіків), а також стандартні модулі `time` та `os` для вимірювання часу та роботи з файлами.

1. У модулі `image_io.py` реалізовано дві функції:

**`read_grayscale_image(path)`** – читає BMP-файл, переводить його у формат *grayscale* та перетворює на матрицю типу `float` з нормалізацією пікселів у діапазон  $[0,1][0, 1][0,1]$ . Саме ці матриці використовуються як матриці XXX та YYY у задачі  $AX=YAX=YAX=Y$ .

**`save_grayscale_image(path, matrix)`** – перетворює отриману матрицю назад у 8-бітне зображення (обрізаючи значення до  $[0,1][0,1][0,1]$ ) і зберігає результат на диск. Це дозволяє візуально порівняти вихідні та відновлені зображення.

2. Модуль `pseudoinverse.py` містить реалізацію двох методів:

**`pseudo_inverse_moore_penrose(A:)`** – ітераційно обчислює псевдообернену матрицю за формулою Мура–Пенроуза. На кожній ітерації будується матриця

$$(A^T A + \delta^2 I)^{-1} \text{ або } (AA^T + \delta^2 I)^{-1},$$

параметр  $\delta$  поступово зменшується, а цикл зупиняється при досягненні заданої точності  $\epsilon$ .

**`pseudo_inverse_greville(A:)`** – реалізує метод Гревіля, який формує псевдообернену матрицю послідовно, додаючи рядки  $A$  та оновлюючи  $A^+$  за рекурсивними формулами для випадків лінійно незалежного та майже залежного рядка.

Окремою функцією **`is_pseudoinverse(A, A_plus)`** перевіряються чотири умови Мура–Пенроуза для отриманої матриці  $A^+$  що дозволяє переконатися у коректності реалізації алгоритмів.

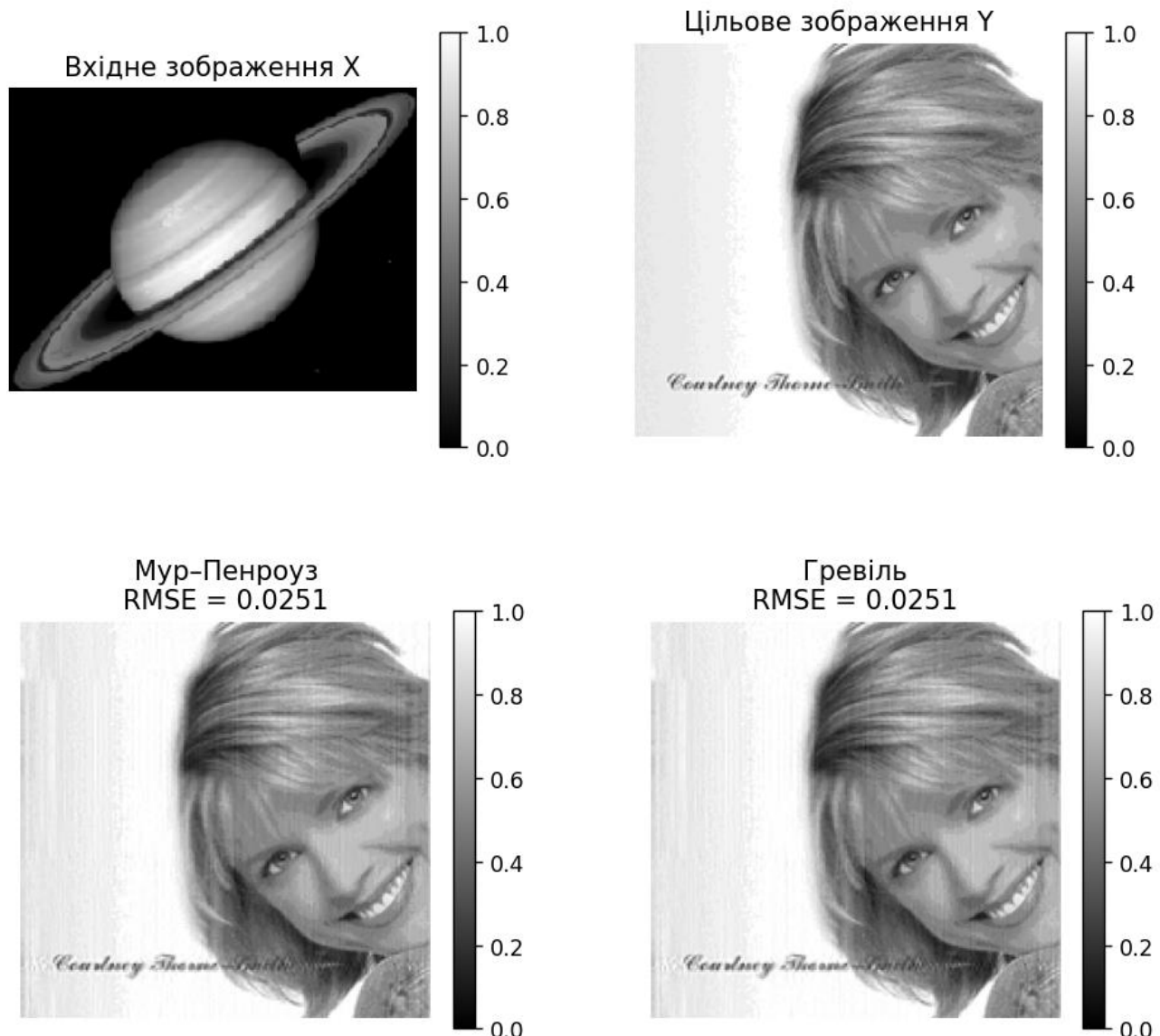
3. В основному файлі `main.py` виконується послідовність дій:

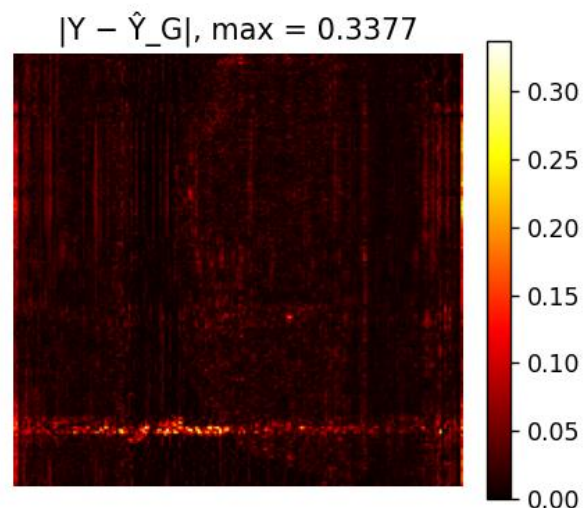
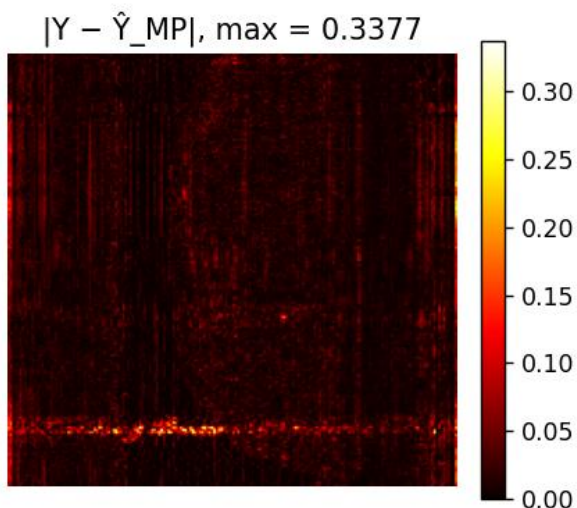
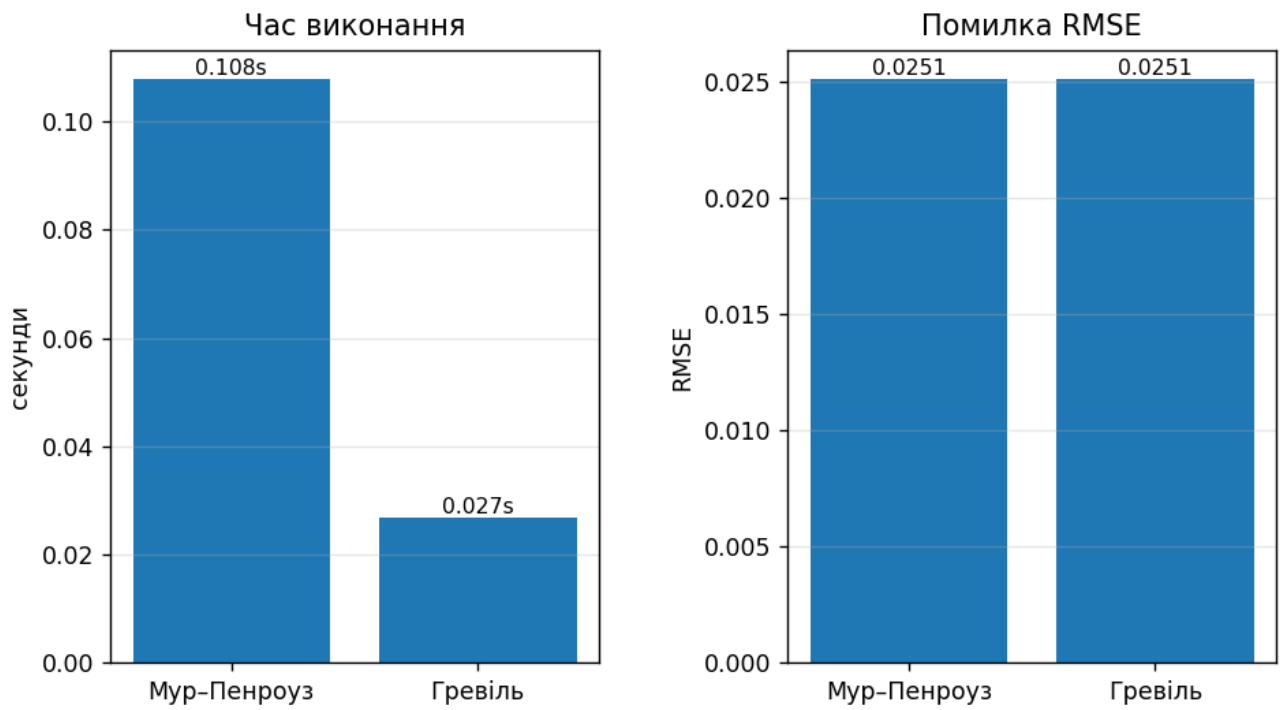
- 1) Зчитуються вхідне зображення `x1.bmp` та відповідне вихідне `y5.bmp`. Перевіряється узгодженість розмірностей.
- 2) Для урахування вільного члена формується розширенна матриця за допомогою функції `augment_with_ones`.

- 3) Функція `build_operator_and_predict()` для кожного з методів: обчислює псевдообернену  $\tilde{X}^+$ , перевіряє умови Мура–Пенроуза, будує оператор  $A=Y\tilde{X}^+$ , відновлює вихідне зображення, обчислює метрики похибки: L1-норму, MSE та RMSE; фіксує час виконання кожного методу.
- 4) Отримані результати для методів Мура–Пенроуза та Гревіля зберігаються у вигляді зображень `result_moore_penrose.bmp` та `result_greville.bmp`, що дає можливість якісно оцінити відновлення.
4. Візуалізація результатів: побудова узагальнюючого звіту засобами `matplotlib`.

## Результат

Початкові дані: вхідний сигнал – `x1.bmp`, вихідний сигнал – `y5.bmp`.





```
== Метод Мур-Пенроуз ==
Розмір  $\tilde{X}$ : (141, 188), розмір  $Y$ : (181, 188)
Розмір  $\tilde{X}^+$ : (188, 141)
Ітерацій: 27
Час: 0.107728 с
Перевірка умов Мура-Пенроуза:
1)  $A A^+ A \approx A$  : True
2)  $A^+ A A^+ \approx A^+$  : True
3)  $A A^+$  симетрична : True
4)  $A^+ A$  симетрична : True
Розмір оператора  $A$ : (181, 141)
Розмір  $\hat{Y}$ : (181, 188)
L1 = 21.892486
MSE = 6.308992e-04
RMSE = 2.511771e-02
```

```
== Метод Гревіль ==
Розмір  $\tilde{X}$ : (141, 188), розмір  $Y$ : (181, 188)
Розмір  $\tilde{X}^+$ : (188, 141)
Ітерацій: 140
Час: 0.026936 с
Перевірка умов Мура-Пенроуза:
1)  $A A^+ A \approx A$  : True
2)  $A^+ A A^+ \approx A^+$  : True
3)  $A A^+$  симетрична : True
4)  $A^+ A$  симетрична : True
Розмір оператора  $A$ : (181, 141)
Розмір  $\hat{Y}$ : (181, 188)
L1 = 21.892486
MSE = 6.308992e-04
RMSE = 2.511771e-02
```

За отриманими результатами можемо побачити, що обидва алгоритми *відновили вихідне зображення майже з однаковою точністю RMSE ≈ 0.0251*, що свідчить про досить малу похибку та хороше наближення результата до оригінального вихідного сигналу.

Найпомітніша різниця полягає у часі: *метод Гревіля працює приблизно у чотири рази швидше за метод Мура–Пенроуза*. Така перевага зумовлена конструкцією алгоритму: Мур–Пенроуз використовує інверсії матриць, що "дорого" обчислювально. Гревіль оновлює псевдообернену матрицю поступово, і це більш ефективно при додаванні даних. Отже, за однакової точності метод Гревіля є більш ефективним для практичного використання.